

miR-132 抑制舌癌细胞增殖、侵袭及迁移

高丽荣¹, 王毅军¹, 周贤², 聂廷洪¹, 张建全¹

(1. 天津市宝坻区人民医院 口腔科, 天津 301800; 2. 天津市口腔医院 口腔颌面外科, 天津 300041)

摘要: 为研究 miR-132 在舌癌中的表达情况, 收集病理诊断确诊为舌癌的 20 例患者舌癌组织及癌旁组织, 通过 RT-PCR 检测 miR-132 在舌癌及癌旁组织中的表达水平。应用 mimics 转染 CAL-27 细胞株, 采用平板克隆、MTT 实验检测 miR-132 过表达组、对照组舌癌细胞的增殖活性。Transwell 实验研究 miR-132 与舌癌细胞迁移作用的关系。结果显示, miR-132 在舌癌组织中的表达水平(0.56 ± 0.05)显著低于癌旁组织(1.43 ± 0.12 , $P < 0.001$)。舌癌组织中 miR-132 的表达水平随着病理分级恶性程度的升高而降低($P < 0.05$)。细胞克隆形成实验及 MTT 实验结果显示, miR-132 mimics 组的细胞活性及增殖明显受抑制($P=0.003$, $P < 0.001$)。Transwell 实验显示, miR-132 mimics 组的细胞过膜数量[(89 ± 15)/视野]明显低于对照组[(380 ± 25)/视野]($P=0.002$)。提示 miR-132 在舌癌组织中表达下降, miR-132 在舌癌的增殖和转移过程中发挥重要作用, 其可作为舌癌的潜在临床预后标志物, 为舌癌的预后判断及治疗提供参考。

关键词: 基因芯片; 舌癌; 微小 RNA-132; 生物学特性

中图分类号: R73-37

文献标志码: A

文章编号: 1001-2478(2019)04-0297-05

舌癌是一种高度恶性肿瘤, 其发病率在口腔肿瘤中居第 1 位^[1], 目前我国舌癌发病率及死亡率呈逐年上升趋势^[2]。早期舌癌的治疗以手术为主, 晚期舌癌手术效果欠佳, 其复发率相对较高, 复发后治疗的效果也不够理想。因此, 舌癌的早期诊断和治疗非常重要。目前越来越多的证据证明非编码 RNA, 即 miRNA, 能够控制肿瘤细胞的生长^[3-5]。很多研究显示, miRNA 参与舌癌肿瘤增殖、侵袭和转移的调控^[6-8]。miR-132 位于人的第 17 号染色体上, 是 CAMP 反应元件结合蛋白(CAMP-response element binding protein, CREB)的靶标, 通过调控下游靶基因而发挥作用。Lages 等^[9]研究发现, miR-132 在神经胶质母细胞瘤、肺癌、胃癌、前列腺癌中表达下调。Zheng 等^[10]研究发现, 结直肠癌细胞系 miR-132 高表达后抑制细胞增殖, 抑制细胞周期进程, 抑制细胞的迁移和侵袭。Guo 等^[11]研究发现, 肺癌患者 miR-132 低表达, 肺癌组织 miR-132 的表达检测有助于预测淋巴结转移情况和患者预后。然而 miR-132 在舌癌中的作用还未见报道, 因此本研究旨在探讨 miR-132 在舌癌中的表达及其对舌癌细胞生物学特性的影响。

收稿日期: 2019-01-07

作者简介: 高丽荣(1973—), 女, 硕士, 副主任医师, 主要从事口腔颌面外科学研究

通信作者: 高丽荣(E-mail: gaoliong@126.com)

1 资料与方法

1.1 基因芯片数据 从 GEO 数据库下载 GSE69002 原始 CEL 文件, 包括 3 例舌癌患者唾液样本(实验组)和 4 例正常人唾液样本(对照组)^[12], 利用 R 软件读取原始文件后, 使用 Affy 包中的 RMA 算法标准化数据^[13], 得到 miRNA 的表达矩阵, 将预处理后得到的 miRNA 表达矩阵文件用 R 软件读入, 利用 R 软件中 limma 包对 3 例舌癌细胞样本和 4 例正常对照样本进行差异表达分析^[14], 并应用贝叶斯检验方法进行多重检验校正。差异 miRNA 筛选标准为: $P < 0.05$, 基因表达倍数变化(fold change, FC)≥2 或 <-2 。

1.2 组织样本与细胞 本研究组织样本来自于天津市宝坻区人民医院 2012 年 1 月至 2018 年 12 月 20 例舌癌患者的癌组织及其相应癌旁组织, 患者男性 12 例、女性 8 例, 年龄(62.3 ± 7.5)岁。舌癌细胞株 CAL-27 购自 ATCC, 采用 MEM 培养基培养(购自 HyClone 公司)。FCS 购自 Gibco 公司。

1.3 试剂及材料 miR-132 mimics 寡聚核苷酸和转染试剂购于 Qiagen 公司; 引物由 Ingentroge 公司合成(表 1)。

1.4 RT-PCR 采用试剂盒提取舌癌组织及癌旁组织中的总 RNA, 用 RT-PCR 测定各组 miR-132 表达量, 内参使用 U6 进行标准化。CAL-27 细胞转

染48 h后,根据总RNA提取试剂盒说明书分别提取各组总RNA,再反转录合成cDNA的第1链。RT-PCR反应条件:94 °C预变性5 min,94 °C变性30 s,60 °C退火30 s,72 °C延伸1 min,35个循环;最后72 °C延伸5 min。RT-PCR miR-132表达量计算公式为:相对表达量= $2^{-\Delta\Delta Ct}$, $\Delta Ct = Ct_{miR-132} - Ct_{U6}$ 。

表1 RT-PCR引物序列

引物名称	引物序列(5'→3')
miR-132 mimics	上游 TGGATGATGGCACTGTTGGAA
	下游 CATTGGGCCACCCCTAAATATAA
U6	上游 CGCTTCGGCAGCACATATACTA
	下游 CGCTTCACGAATTGCGTGTCA

1.5 舌癌细胞株转染实验 将对数生长期的CAL-27细胞接种于6孔板,待细胞密度融合为60%~70%时将细胞分为2组,分别进行miR-132 mimics及空白载体转染,转染后48 h收集细胞内RNA,检测miR-132表达水平。

1.6 细胞克隆形成实验 取miR-132 mimics及空白载体转染的CAL-27细胞,以800/孔接种于6孔板,在细胞培养箱中温育1~3周,待细胞克隆形成,使用4%多聚甲醛固定细胞,0.1%结晶紫对细胞群落进行染色,计集落数。

1.7 MTT实验 取miR-132 mimics及空白载体转

染的CAL-27细胞,以3 000/孔接种于96孔板培养,在实验结束前4 h加入5 mg/mL的MTT 20 μL,继续培养4 h后弃培养液,各孔加入二甲基亚砜(dimethyl sulfoxide, DMSO)150 μL,室温振荡10 min。于酶标仪上测定光密度[D(490 nm)]。

1.8 Transwell实验 将Transwell小室置于24孔板后,加入转染组和对照组细胞,小室内加入200 mL无血清培养基,24孔板内加入600 mL有血清培养基。培养24 h后取出Transwell小室,擦除未通过小室滤膜的细胞,采用0.1%结晶紫对迁移细胞进行染色、漂洗、固定,任取镜下5个视野进行计数,每组实验重复3次,观察其迁移情况。

1.9 统计学处理 使用SPSS 21.0软件对数据进行统计分析。研究数据服从正态分布,各组数据用 $\bar{x} \pm s$ 表示,2组比较采用t检验,多组比较采用方差分析,组内两两比较采用LSD检验。以P<0.05为差异有统计学意义。

2 结果

2.1 GSE69002表达谱芯片生物信息学分析 舌癌细胞样本和正常对照样本差异表达miRNA一共1 203个,其中上调miRNA 660个,下调miRNA 543个(图1)。miR-132在舌癌细胞样本中明显下调,提示miR-132在舌癌细胞中表达受抑制,其可能与舌癌的发生、发展相关。

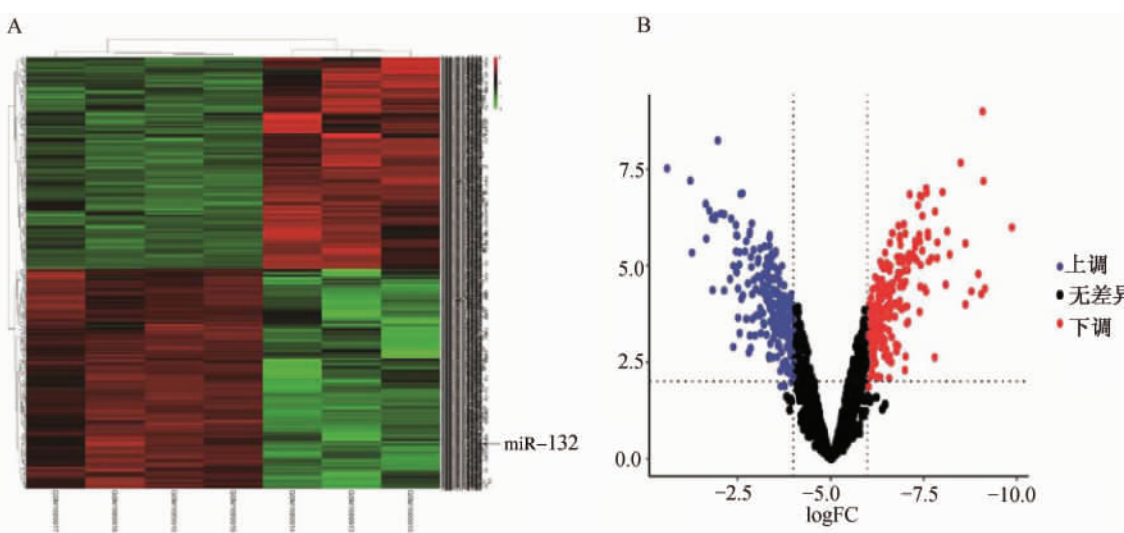


图1 miR-132在舌癌芯片中的表达

注: A.热图; B.火山图

2.2 miR-132在舌癌组织及癌旁组织中表达水平的比较 采用RT-PCR检测miR-132在舌癌组织

及癌旁组织中的表达水平。miR-132在舌癌组织中的表达水平(0.56 ± 0.05)显著低于癌旁组织(1.43

± 0.12) ($P < 0.001$), 进一步验证了基因芯片的结果。(图 2)

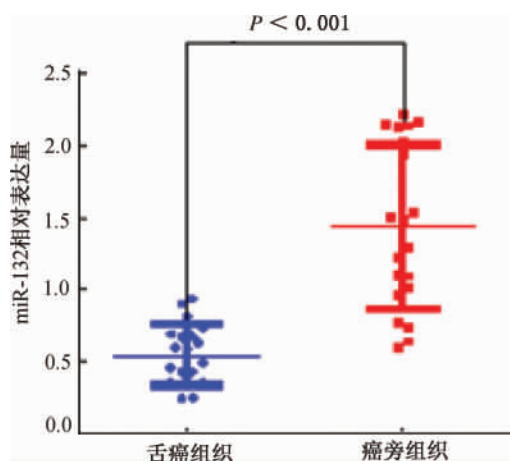


图 2 miR-132 在舌癌组织及癌旁组织中的表达

2.3 miR-132 的表达与舌癌病理分级的关系 为进一步研究 miR-132 与舌癌发生的关系, 对舌癌样本的病理分级与 miR-132 表达水平的关系进行了分析。低分级(T1 期)组内 miR-132 的表达处于较高水平, T2、T3 期舌癌组织的 miR-132 表达较低, 分级组低, T4 期舌癌组织表达水平最低, miR-132 的表达水平与病理分级呈负相关($H = 6.528$, $P < 0.05$)。(图 3)

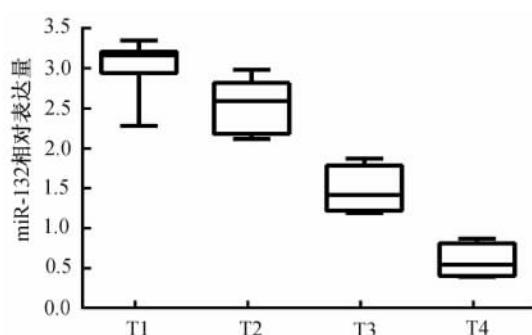


图 3 miR-132 的表达与舌癌病理分级的关系

2.4 miR-132 质粒转染 CAL-27 细胞 将 2 组细胞(miR-132 mimics 组、对照组)进行转染, 培养 48 h 提取 RNA 检测。PCR 结果显示, miR-132 mimics 组 miR-132 表达水平显著高于对照组($P < 0.01$)。(图 4)

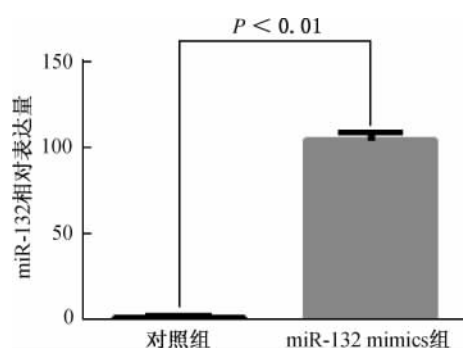


图 4 miR-132 过表达质粒转染 CAL-27 细胞后的表达情况

2.5 miR-132 对 CAL-27 细胞增殖活性的影响

MTT 实验检测 miR-132 对 CAL-27 细胞增殖的影响。miR-132 mimics 转染后 48 h, 用 MTT 实验分别检测 CAL-27 细胞 miR-132 mimics 组和对照组舌癌细胞的活性。结果显示, miR-132 mimics 转染显著抑制舌癌细胞的增殖($P < 0.001$, 图 5)。细胞克隆形成实验同样表明, 与对照组相比, miR-132 mimics 组中的舌癌细胞 CAL-27 的集落数显著减少($P=0.0032$)。(图 6)

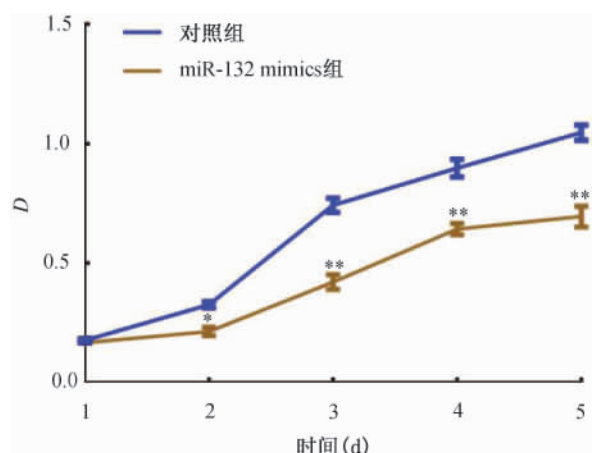


图 5 miR-132 mimics 转染的 CAL-27 舌癌细胞 MTT 实验结果

注: 与对照组比较, * $P < 0.01$, ** $P < 0.001$

2.6 转染后舌癌细胞的体外迁移能力 用 Transwell 实验观察 2 组质粒转染的 CAL-27 舌癌细胞的过膜数量, 对 miR-132 调控的舌癌细胞的迁移能力进行研究。miR-132 mimics 组的细胞过膜数量[(89 \pm 15)/视野]明显低于对照组[(380 \pm 25)/视野]($P=0.002$)。(图 7)

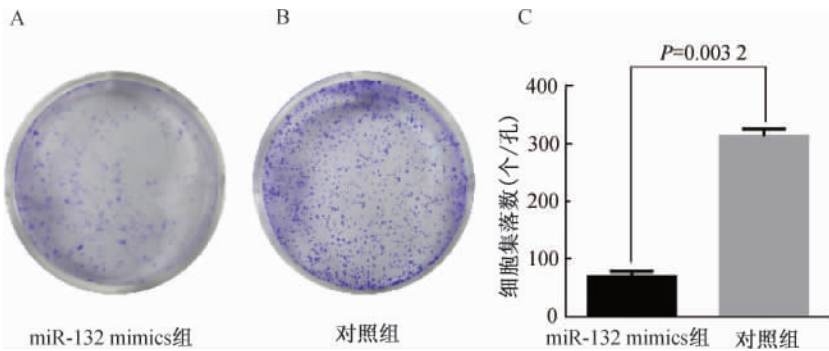


图6 miR-132 mimics 转染的舌癌细胞 CAL-27 的细胞克隆形成实验结果

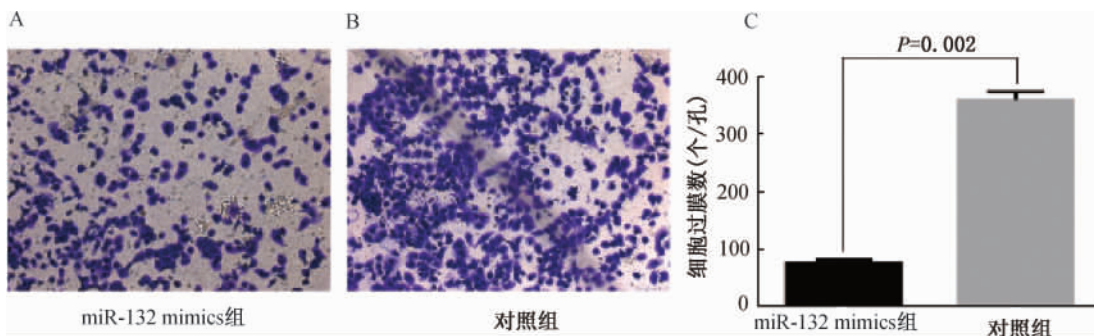


图7 miR-132 mimics 转染的 CAL-27 舌癌细胞 Transwell 实验结果

3 讨论

舌癌是临床常见的恶性肿瘤之一，其临床死亡率呈逐年上升趋势^[1]。早期舌癌的治疗以手术切除为主，但由于舌癌早期症状不明显，大多患者就诊时已属中晚期，且因肿瘤细胞局部浸润和远端转移，患者失去根治性手术的机会，高复发率也是造成舌癌预后不理想的原因之一^[10]。因此，早期诊断和治疗是保障舌癌患者具有良好预后的关键因素。寻找舌癌早期诊断标志物对及时诊治舌癌具有重要意义。近年来，miRNA 以其在生物学过程中多样化的调节作用而备受关注^[15-16]。各种肿瘤异常的 miRNA 表达谱为研究肿瘤发生提供了新思路。

miR-132 作为 miRNA 中的一员，在多种肿瘤的发生、发展中起到重要的作用。miR-132 最早在肺癌、恶性胶质瘤、乳腺癌中被发现，后逐渐受到更多关注。研究者们发现 miR-132 在卵巢癌、甲状腺癌、结直肠癌及神经胶质母细胞瘤中起肿瘤抑制作用^[9-11]，然而 miR-132 在舌癌的发生、发展中究竟起什么作用，尚不清楚。本研究收集舌癌组织及癌旁组织样本，并检测样本的 miR-132 表达量进行分析。研究结果显示，miR-132 在舌癌组织中的表达量明显低于癌旁组织。对收集到的舌癌组织以病理分级进行分组，比较不同病理分级的舌癌组织中

miR-132 的表达情况，研究发现在舌癌组织中 miR-132 的表达量随病理分级恶性程度的升高而降低，高分级(T4 期)组中 miR-132 表达量最低。miR-132 在不同病理级别舌癌组织中的表达量存在显著差异，随着舌癌病理分级的升高，表达量降低，提示 miR-132 的表达可能与舌癌的发生、发展相关。基于以上的实验研究结果，我们成功使用 miR-132 mimics 转染 CAL-27 细胞株，并进一步对转染细胞进行了 MTT 实验、细胞克隆形成实验及 Transwell 实验。MTT 实验结果显示，miR-132 mimics 转染显著抑制舌癌细胞的增殖，细胞克隆形成实验同样表明，与对照组相比，miR-132 mimics 组中的舌癌细胞 CAL-27 的集落数显著减少。Transwell 实验结果显示，与对照组相比，miR-132 mimics 组的细胞过膜数量减少。MTT 实验、细胞克隆形成实验及 Transwell 实验结果验证了 miR-132 的表达水平确与舌癌细胞的迁移能力相关，miR-132 的表达量增加可以抑制舌癌细胞的增殖、迁移。

综上所述，舌癌组织中 miR-132 的表达水平较正常组织低，且随着癌组织病理分级恶性程度的升高而降低。过表达 miR-132 可抑制舌癌细胞的增殖、转移，提示 miR-132 对舌癌的发生、发展发挥重要作用，且与舌癌的增殖、转移密切相关，其

可作为舌癌的潜在临床诊治靶点。测定miR-132的表达量可作为预测舌癌预后的生物标志物，这为舌癌治疗提供了新思路。

参考文献

- [1] Edge SB, Compton CC. The American joint committee on cancer: The 7th edition of the AJCC cancer staging manual and the future of TNM[J]. Ann Surg Oncol, 2010, 17(6): 1471-1474.
- [2] Mitsudo K, Hayashi Y, Minamiyama S, et al. Chemoradiotherapy using retrograde superselective intra-arterial infusion for tongue cancer: Analysis of therapeutic results in 118 cases[J]. Oral Oncol, 2018, 79: 71-77.
- [3] Lu J, Getz G, Miska EA, et al. MicroRNA expression profiles classify human cancers[J]. Nature, 2005, 435(7043): 834-838.
- [4] He L, Thomson JM, Hemann MT, et al. A microRNA polycistron as a potential human oncogene [J]. Nature, 2005, 435(7043): 828-833.
- [5] Esquela-Kerscher A, Slack FJ. Oncomirs-microRNAs with a role in cancer[J]. Nat Rev Cancer, 2006, 6(4): 259-269.
- [6] He Q, Chen Z, Cabay RJ, et al. MicroRNA-21 and microRNA-375 from oral cytology as biomarkers for oral tongue cancer detection[J]. Oral Oncol, 2016, 57: 15-20.
- [7] Rabinowitz G, Bowden M, Flores LM, et al. Comparative analysis of microRNA expression among benign and malignant tongue tissue and plasma of patients with tongue cancer [J]. Front Oncol, 2017, 7: 191.
- [8] Zhou XL, Wu JH, Wang XJ, et al. Integrated microRNA-mRNA analysis revealing the potential roles of microRNAs in tongue squamous cell cancer[J]. Mol Med Rep, 2015, 12(1): 885-894.
- [9] Lages E, Guttin A, El Atifi M, et al. MicroRNA and target protein patterns reveal physiopathological features of glioma subtypes[J]. PLoS One, 2011, 6(5): e20600.
- [10] Zheng YB, Luo HP, Shi Q, et al. MiR-132 inhibits colorectal cancer invasion and metastasis via directly targeting ZEB2 [J]. World J Gastroenterol, 2014, 20(21): 6515-6522.
- [11] Guo H, Zhang X, Chen Q, et al. MiR-132 suppresses the migration and invasion of lung cancer cells by blocking USP9x-induced epithelial-mesenchymal transition[J]. Am J Transl Res, 2018, 10(1): 224-234.
- [12] Duz MB, Karatas OF, Guzel E, et al. Identification of miR-139-5p as a saliva biomarker for tongue squamous cell carcinoma: A pilot study[J]. Cell Oncol (Dordr), 2016, 39(2): 187-193.
- [13] Gautier L, Cope L, Bolstad BM, et al. Affy-analysis of affymetrix genechip data at the probe level[J]. Bioinformatics, 2004, 20(3): 307-315.
- [14] Ritchie ME, Phipson B, Wu D, et al. Limma powers differential expression analyses for RNA-sequencing and microarray studies[J]. Nucleic Acids Res, 2015, 43(7): e47.
- [15] Kai Y, Peng W, Ling W, et al. Reciprocal effects between microRNA-140-5p and Adam10 suppress migration and invasion of human tongue cancer cells[J]. Biochem Biophys Res Commun, 2014, 448(3): 308-314.
- [16] Boldrup L, Troiano G, Gu X, et al. Evidence that circulating proteins are more promising than miRNAs for identification of patients with squamous cell carcinoma of the tongue[J]. Oncotarget, 2017, 8(61): 103437-103448.

MiR-132 inhibiting proliferation, migration and invasion of tongue cancer

GAO Li-rong¹, WANG Yi-jun¹, ZHOU Xian², NIE Ting-hong¹, ZHANG Jian-quan¹(1. Stomatology department, Baodi Hospital, Tianjin 301800, China; 2. Oral and Maxillofacial Surgery, Tianjin Stomatological Hospital, Tianjin 300041, China)

Abstract: To study the expression of miR-132 in tongue cancer, cancer and paracancerous tissues were collected from 20 patients with tongue cancer and miR-132 expression was detected by RT-PCR. The CAL-27 cell line was transfected with miR-132 mimics, and the proliferation and viability in the miR-132 mimics group and the control group were detected by cell colony forming and MTT assays respectively. Transwell assay were performed to explore the effect of miR-132 on migration of tongue cancer cells. The results showed that the expression of miR-132 in tongue cancer tissues (0.56 ± 0.05) was significantly lower than that in the adjacent normal tissues (1.43 ± 0.12 , $P < 0.001$). The expression of miR-132 in tongue cancer tissues decreased with the increase of malignancy of pathological grade ($P < 0.05$). Cell colony forming and MTT assays showed that the cell viability and proliferation in the miR-132 mimics group were significantly inhibited ($P = 0.003$), ($P < 0.001$). Transwell experiments showed that the number of cells rested on the membranes in the miR-132 mimics group [$(89 \pm 15) / \text{field}$] was significantly reduced than that in the control group [$(380 \pm 25) / \text{field}$] ($P = 0.002$). In conclusion, this study shows that miR-132 expression decreases in tongue cancer tissue, and miR-132 plays an important role in the proliferation and metastasis of tongue cancer, which suggesting that miR-132 might be used as a potential clinical prognostic marker for the prognosis and treatment of tongue cancer.

Key words: genechip; tongue cancer; microRNA-132; biological characteristics